

# ORIGINAL ARTICLE

## **Comparing the Effect of Hydro-alcoholic Extract of *Viola odorata* and Melatonin on Tumor Growth and NF-*kB*, TNFR1, and VCAM-1 Expression Rates in 4T1 Breast Cancer Model: An In vivo Study**

Hiva Alipanah<sup>1</sup>,  
Mohammad Reza Bigdeli<sup>2,3</sup>,  
Mohammad Ali Esmaeili<sup>4</sup>,  
Mohammad Esmaeil Akbari<sup>5</sup>

<sup>1</sup> PhD in Animal Physiology, Faculty of Sciences, Shahid Beheshti University, Tehran, Iran

<sup>2</sup> Associate Professor, Cancer Research Center, Shahid Beheshti University of Medical Sciences, Tehran, Iran

<sup>3</sup> Associate Professor, Department of Biology, Faculty of Sciences, Shahid Beheshti University, Tehran, Iran

<sup>4</sup> Assistant Professor, Department of Biology, Medicinal Plants and Drugs Research Institute, Shahid Beheshti University, Tehran, Iran

<sup>5</sup> Professor, Cancer Research Center, Shahid Beheshti University of Medical Sciences, Tehran, Iran

(Received August 14, 2016; Accepted November 26, 2016)

### **Abstract**

**Background and purpose:** *Viola odorata* is a medical plant used in the treatment of hepatic disorders and relieving cancer pain. Melatonin (Mel) can act as an antioxidant and prevent cells against oxidative stress. This compound has a direct inhibitory effect on cancer cell proliferation. In the present study, we performed an in-vivo study to evaluate the effects of *Viola odorata* hydro-alcoholic extract (VOE) and MEL on tumor growth and NF-*kB*, TNFR1, and VCAM-1 expression rate in 4T1 breast cancer model.

**Materials and methods:** In this experimental study, 4T1 cells, which were cultured in-vitro, were harvested and put in a serum-free suspension medium. The animals (five groups, n=5) received subcutaneous injections of 0.1 ml of cell suspension (0.8 million cells) in the right mammary gland or hind flank. The implanted BALB/c mice with 4T1 cells were treated with different concentrations of VOE (50, 150, and 250 mg/kg) and Mel (40 mg/kg) for 21 days. The control group received distilled water. The mice were sacrificed on day 22. NF-*kB*, TNFR1, and VCAM-1 expression rate was measured by Western Blotting technique. To analyze the data, ANOVA test was run in SPSS, version 16.

**Results:** The size of tumors in Mel ( $P=0.000$ ) and VOE250 ( $P=0.0001$ ) treated mice was smaller compared to that of the control group. Our results indicated that Mel ( $P=0.022$ ) and VOE250 ( $P=0.02$ ) increased TNFR1 expression. On the other hand, Mel ( $P=0.034$ ) and VOE150 ( $P=0.04$ ) decreased VCAM-1 expression in the 4T1 breast cancer model. Unlike the Mel group, NF-*kB* expression reduced in the group receiving VOE250 compared to that of the control group ( $P=0.012$ ).

**Conclusion:** It seems that VOE and Mel can reduce the rate of tumor growth in 4T1 breast cancer model by decreasing the expression of VCAM-1 and NF-*kB* and enhancing the expression of TNFR1.

**Keywords:** melatonin, NF-*kB*, TNFR1, VCAM-1, *Viola*

## مقایسه اثر عصاره هیدروالکلی گل بنفسه و هورمون ملاتونین بر رشد تومور و میزان بیان فاکتورهای TNFR1، NF-kB و VCAM-1 در مدل سرطانی سینه 4T1 در شرایط *in vivo*

هیوا علی پناه<sup>۱</sup>

محمد رضا بیگدلی<sup>۲,۳</sup>

محمد علی اسماعیلی<sup>۴</sup>

محمد اسماعیل اکبری<sup>۵</sup>

### چکیده

**سابقه و هدف:** *Viola odorata* به عنوان یک داروی گیاهی در درمان اختلالات کبدی و کاهش درد ناشی از سرطان استفاده می‌شود. ملاتونین (Melatonin: MEL) می‌تواند به عنوان یک آنتی‌اکسیدان عمل کند و سلول‌ها را از استرس‌های اکسیداتیو حفظ نماید. ملاتونین یک اثر مهاری مستقیم بر تکثیر سلول‌های سرطانی دارد. در این مطالعه، تأثیرات عصاره هیدروالکلی *Viola odorata* و MEL بر میزان رشد تومور و بیان فاکتورهای TNFR1، NF-kB و VCAM-1 در مدل سرطان سینه 4T1 مورد بررسی قرار گرفته است.

**مواد و روش‌ها:** در این مطالعه تجربی، سلول‌های 4T1 کشت شده پس از برداشت، در سوسپانسیونی عاری از محیط کشت قرار گرفتند. به ۵ گروه ۵ تایی از موش‌ها، به میزان (۸/۰ میلیون سلول/mL) به صورت زیرپوستی در ناحیه غدد پستانی سمت راست یا قسمت عقبی بدن تزریق شد. موش‌های BALB/C پیوند داده شده با سلول‌های 4T1 با غلظت‌های گوناگونی از VOE (۵۰، ۱۵۰ و ۲۵۰ mg/kg) و MEL (۴۰، ۱۵۰ و ۲۵۰ mg/kg) به مدت ۲۱ روز تیمار شدند. گروه کنترل آب مقطر دریافت کردند. در روز ییستودوم موش‌ها قربانی شدند و میزان بیان فاکتورهای TNFR1، NF-kB و VCAM-1 با تکنیک وسترن بلاستینگ (Western Blotting) اندازه‌گیری شد. داده‌ها توسط نرم افزار SPSS و با استفاده از آزمون ANOVA آنالیز شدند.

**یافته‌ها:** اندازه تومورها در موش‌های تیمارشده با MEL (P=۰/۰۰۰۱) و VOE250 (P=۰/۰۰۰۱) از گروه کنترل کمتر بود. همچنین داده‌های به دست آمده از این پژوهش نشان داد که MEL (P=۰/۰۲۲) و VOE250 (P=۰/۰۲۰) میزان TNFR1 را کاهش داده‌اند. از طرف دیگر، MEL (P=۰/۰۳۴) و VOE250 (P=۰/۰۳۴) سبب کاهش بیان VCAM-1 در مدل‌های سرطانی 4T1 شده‌اند. برخلاف گروه MEL، میزان بیان NF-kB در گروه VOE250 (P=۰/۰۱۲) در مقایسه با گروه کنترل کاهش پیدا کرده است.

**استنتاج:** به نظر می‌رسد MEL و VOE به ترتیب با کاهش در بیان TNFR1، VCAM-1، NF-kB و افزایش بیان TNFR1 موجب کاهش میزان رشد تومور در مدل سرطان سینه 4T1 شده‌اند.

### واژه‌های کلیدی: ملاتونین، *Viola odorata*, TNFR1, VCAM-1, NF-kB

Email: bigdelimohammadreza@yahoo.com

مؤلف مسئول: محمد رضا بیگدلی - تهران: دانشگاه شهید بهشتی، آزمایشگاه مغز و اعصاب- قلب و عروق

۱. دکترای فیزیولوژی جانوری، دانشکده علوم زیستی، دانشگاه شهید بهشتی، تهران، ایران

۲. دانشیار، مرکز تحقیقات سرطان، دانشگاه علوم پزشکی شهید بهشتی، تهران، ایران

۳. دانشیار، گروه علوم جانوری، دانشکده علوم زیستی، دانشگاه شهید بهشتی، تهران، ایران

۴. استادیار، گروه بیولوژی، پژوهشکده گیاهان دارویی دانشگاه شهید بهشتی، تهران، ایران

۵. استاد، مرکز تحقیقات سرطان، دانشگاه علوم پزشکی شهید بهشتی، تهران، ایران

۶. تاریخ دریافت: ۱۳۹۵/۵/۲۴ تاریخ ارجاع جهت اصلاحات: ۱۳۹۵/۶/۸ تاریخ تصویب: ۱۳۹۵/۹/۶

## مقدمه

سایتوکاین‌های ضدسرطانی IL-2 و IL-12 می‌شود (۳). اضافه کردن ۱ nM ملاتونین به محیط کشت سلول‌های سرطانی رده MCF-7، تکثیر سلولی را کاهش و بیان پروتئین‌های پیش‌آپوپتوزی P21 و P53 را افزایش می‌دهد و درنهایت، با افزایش بیان E-cadherin و  $\beta$ 1-integrin قدرت متاستاز سلولی می‌شود (۴). ملاتونین می‌تواند با مهار محور HPG و به دنبال آن، کاهش هورمون‌های جنسی و نیز با مهار عوامل اکسیدان، تحریک سیستم ایمنی بدن و مهار فعالیت آنزیم تلومراز، موجب مهار رشد سلول‌های سرطان سینه شود (۵). ملاتونین با مهار تأثیرات میتوژن استروژن، با تنظیم کاهشی (Down-regulation) پروتئین، mRNA هردو گیرنده آلفا و بتای استروژن (ER $\alpha$ , $\beta$ )، تعديل پروتئین‌های تنظیم‌کننده استروژن، فاکتورهای رشد و PR (Progesterone Receptor) پروتوانکوژن‌ها مانند: cfox, TGF $\alpha$ , pS2 و مهار سیستم پروتئازوم، موجب مهار تکثیر سلول‌های سرطانی MCF-7 می‌شود (۷,۶). ملاتونین در سلول‌های سرطانی، سبب کاهش تمایز سلولی می‌شود و با نگهداشتن سلول‌ها در فاز G<sub>1</sub>/G<sub>0</sub> چرخه سلولی، طول چرخه سلولی را افزایش می‌دهد (۵). از طرف دیگر، ملاتونین موجب تنظیم افزایشی P53 و P21 و کاهش حالت تهاجمی سلول‌های سرطانی می‌شود (۵).

گل بنفسه معطر (*Viola odorata*) در پژوهشی ستی ایرانی برای درمان سرطان، میگرن، التهاب، تب، اضطراب، فشار خون، اختلالات کلیه‌ها و کبد و عفونت‌های میکروبی و به عنوان آرامبخش استفاده می‌شود (۸-۱۰). عصاره گیاه گل بنفسه (*Viola odorata*) برای پیشگیری و درمان کمکی سرطان به ویژه در سرطان‌های دستگاه گوارش و متاستاز پس از جراحی تومورها مصرف می‌شود

سرطان سینه یکی از شایع‌ترین سرطان‌های زنان ایرانی و دومین عامل مرگ ناشی از سرطان است (۱). سرطان سینه یک بیماری به شدت ناهمگن است که در اثر تأثیر متقابل عامل‌های خطر و راثی و محیطی ایجاد می‌شود و به تجمع پیش‌رونده تغییرات ژنتیکی و اپی‌ژنتیکی در سلول‌های پستان منجر می‌شود. چشم انداز درمان سرطان در طول چندین دهه‌ی اخیر به طور قابل توجهی تغییر کرده است و علاوه بر جراحی و پرتو درمانی، درمان‌های کمکی (هورمون درمانی-شیمی درمانی) و تخریب تخدمان‌ها از جمله راههای درمانی دیگر در سرطان سینه می‌باشد. از آنجاکه، ویژگی‌های مولکولی یک تومور سرطانی، پایه و اساس یک درمان را مشخص می‌کنند، هر روز روش‌های جدیدی نیز برای درمان سرطان معرفی می‌شوند (۲). در این میان، پیدا کردن روش‌های درمانی که اثرگذاری بالایی همراه با حداقل رساندن عوارض جانبی از خود نشان دهند، یکی از مشکلات اساسی محققان سرطان است.

مطالعات زیادی نقش مهاری هورمون ملاتونین (Melatonin: MEL) را در شروع، ادامه و پیشرفت سرطان تأیید کرده‌اند. همچنین، افزایش بروز سرطان سینه، رحم و کولون در بین پرستاران و دیگر کارمندان که شب‌کار هستند، ارتباط بین کاهش سطح ملاتونین و بروز این بیماری‌ها را پیشنهاد می‌دهد. این قبیل شواهد و همچنین فعالیت‌های آپوپتوزی و آنتی‌اکسیدانی ملاتونین و ارتباط آن با سیستم‌های ایمنی و اندوکرینی بدن، اثر ملاتونین بر سلول‌های توموری را تقویت می‌کند. مطالعات اخیر انسانی و حیوانی نشان داده است که ملاتونین در نئوپلاسم انسانی، ویژگی‌های مهم انکواستاتیکی را از خود نشان می‌دهد. در این بیماری، ملاتونین سبب تغییر بیان

بین سلولی مشاهده کرد. mTNF- $\alpha$  میل ترکیبی یکسانی نسبت به هردو گیرنده دارد؛ اما sTNF- $\alpha$  را عمدتاً می‌توان متصل به گیرنده TNFR1 دید. برخلاف TNFR2، گیرنده TNFR1 دارای یک دومین مجری Caspase 8 است که به واسطه فعال کردن آپوپتوز سلولی را تحريك می‌کند (۱۷). یکی از فاکتورهای هدف NF- $\kappa$ B، ژن VCAM-1 است که به عنوان یک پروتئین اتصال سلولی، به مقدار زیادی در سرطان سینه بیان می‌شود و با افزایش متاستاز بافتی ارتباط مستقیم دارد. VCAM-1 با فعال کردن مسیرهای بقای سلولی مانند PIK3، تکثیر سلولی را در سرطان سینه افزایش می‌دهد (۱۸).

مطالعات قبلی نشان داده است که عصاره هیدروالکلی گل بنفسه و ملاتونین در مدل‌های سرطانی 4T1، می‌توانند از رشد تومور سرطانی جلوگیری کنند (۱۶)؛ بنابراین، در مطالعه حاضر مکانیسم‌های احتمالی اثر آن‌ها بر میزان بیان فاکتورهای TNFR1، NF- $\kappa$ B و VCAM-1 در مدل‌های سرطانی 4T1 بررسی شد.

## مواد و روش‌ها

با شماره هبراریوم MPH-615 از Viola odorata پژوهشکده گیاهان و مواد اولیه دارویی دانشگاه شهید بهشتی تهران تهیه شد. سپس، قسمت‌های هوایی گیاه برای تهیه عصاره هیدروالکلی (۵۰ درصد آب - ۵۰ درصد الکل) استفاده گردید. عصاره گیری به صورت Maceration و چندباره انجام شد و عصاره به دست آمده در محل بدون رطوبت و در دمای اتاق، خشک گردید (این روشی کاملاً معمول در عصاره گیری است). چون عصاره گیری به صورت کامل انجام می‌گیرد و مقدار بر حسب میلی‌گرم از پودر خشک استفاده می‌شوند، تعیین درصد خلوص لزرومی ندارد. عصاره گیری به مدت سه هفته صورت گرفت و عصاره تهیه شده

(۱۱). گل‌ها و برگ‌های بنفسه معطر حاوی فلاونوئیدها، ساپونین‌ها، موسیلائز، ویتامین C، ساپونین‌ها، آلکالوئید و پولین هستند. مهم‌ترین مواد مؤثر گیاه بنفسه معطر، گروه مواد پیتیدی گیاهی از جمله سیکلوفیولاسین (Cyclotides) و سیکلوتاییدها (Cyclotides) می‌باشند (۱۲). سیکلوفیولاسین O<sub>2</sub> (Cyc O<sub>2</sub>) یک سیکلوتایید از گیاه Viola odorata است که با نفوذپذیر کردن غشای سلول، موجب مرگ سلول‌های سرطانی MCF-7 در محیط کشت می‌شود (۱۳). از طرف دیگر، فلاونوئیدها در برابر بسیاری از سرطان‌ها تأثیرات حفاظتی از خود نشان می‌دهند. فلاونوئیدها با مهار Bcl-2، AP-1 (Activator Protein-1)، Bclx (L)، گیرندهای فاکتورهای رشد، MMP (Matrix Metalloproteinase) و VEGF (Vascular Endothelial Growth Factor) موجب کاهش و مهار تهاجم، متاستاز، رگ‌زایی و تکثیر سلولی در سرطان‌های گوناگون می‌شوند (۱۴). همچنین، نشان داده شده است که عصاره آبی Viola odorata توانایی مهار رادیکال‌های آزاد را دارد و می‌تواند به عنوان یک آنتی‌اکسیدان عمل کند (۱۵). همچنین، مشخص شده است که عصاره هیدروالکلی گل بنفسه نیز می‌تواند به طور معناداری، رشد سلول‌های سرطانی سه‌گانه منفی-MDA-468 را کاهش دهد (۱۶).

فاکتور رونویسی NF- $\kappa$ B به عنوان یک فاکتور هسته‌ای، موجب تنظیم افزایشی ژن‌های آپوپتوزی، فعال کردن مکانیسم‌های بقای سلولی، تحريك تکثیر سلولی و افزایش آنزیوبوتز و متاستاز در سرطان می‌شوند. NF- $\kappa$ B القای آپوپتوز به وسیله فاکتور نکروز بافتی (Factor Necrosis Tumor: TNF) مشخص شده است که TNF- $\alpha$  به واسطه فعال کردن گیرنده‌های TNFR1 یا TNFR2، موجب القای آپوپتوز یا بقای سلولی می‌شود. TNF- $\alpha$  را می‌توان به دو شکل متصل به عشا (sTNF) یا محلول (mTNF) در فضای

ملا-tonin را به صورت پنج روز در هفته و به مدت سه هفته به وسیله تزریق درونصفاقی، یک ساعت قبل از خاموشی دریافت کرد (۱۹). گروه کنترل (Cont) نیز با آب مقطر گاوایش شد. شایان ذکر است که نمونه‌ها در روز بیست و دوم قربانی شدند.

#### تغییرات حجم تومور

تغییرات حجم تومور به صورت هفتگی به وسیله کولیس دیجیتال و با استفاده از فرمول زیر محاسبه شد.

$$\text{تغییرات حجم تومور} = \frac{(\text{عرض}) \times (\text{طول})}{2} \times 1/2$$

#### درصد مهار رشد تومور

درصد مهار رشد تومور نیز با فرمول زیر محاسبه شد:

$$\text{درصد مهار رشد تومور} = \frac{(\text{وزن تومور گروه تیمار} - \text{وزن تومور گروه کنترل})}{\text{وزن تومور گروه کنترل}} \times 100$$

#### وسترن بلاستینگ (Western Blotting)

بیان پروتئین‌های NF- $\kappa$ B، VCAM-1، TNFR1 و 1 در گروه‌های آزمایشی (VOE250، VOE150، VOE50، Mel) و گروه کنترل (Cont) و با روش وسترن بلاستینگ (با سه تکرار برای هر نمونه) بر روی ژل SDS-page از پلیمرهای آکریل آمید اندازه‌گیری گردید. برای لیزکردن بافت‌های توموری سرطان سینه، از RIPA بافر استفاده شد.

#### ترکیبات بافر لیزکننده

ترکیبات بافر لیزکننده به شرح زیر بود: (pH=۸)، NP-40 ۱ درصد، ۱۵۰ mM NaCl sodium ۱ درصد، ۵ mM Tris EDTA and protease inhibitor deoxycholate ۱ mM cocktail سوپانسیون سلولی از بافت‌های لیزشده با استفاده

به صورت پودر برای مرحله‌های گوناگون آزمایش نگهداری شد.

#### حیوانات و اصول اخلاقی

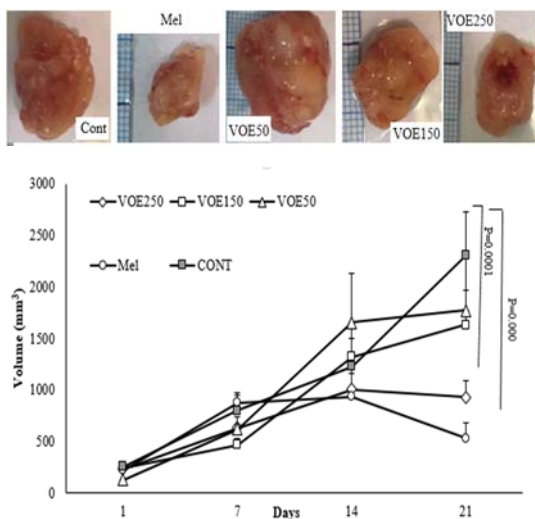
تعداد ۲۵ سر موش BALB/c با میانگین وزنی  $20 \pm 1$  g از انتیتو پاستور ایران خریداری و با دسترسی آزاد به آب و غذا و در شرایط  $12 \pm 2$  ساعت تاریکی و  $12 \pm 2$  ساعت روشنایی و در دمای  $22 \pm 2$  سانتی‌گراد نگهداری شدند. تمام مسائل اخلاقی در زمینه نگهداری، تزریق و گاوایش نمونه‌ها توسط محقق رعایت شده است.

#### ایجاد مدل سرطانی 4T1

سلول‌های سرطانی 4T1 (انتیتو پاستور ایران، C604) در فلاسک‌های  $75 \text{ cm}^2$  در محیط کشت RPMI-1640 حاوی ۱۰ FBS درصد و آنتی‌بیوتیک پنی‌سیلین ۱ درصد، درون انکوباتور با دمای  $37^\circ\text{C}$  درجه سلسیوس و  $5\% \text{ CO}_2$  درصد نگهداری شدند. پس از پرشدن بستر فلاسک‌ها، سلول‌ها با ترپسین جدا شدند و پس از شست و شو با PBS تعداد  $800,000$  از سلول‌ها (عاری از محیط کشت) به صورت زیرپوستی به ناحیه غدد پستانی سمت راست یا قسمت عقبی بدن موش‌ها تزریق شدند.

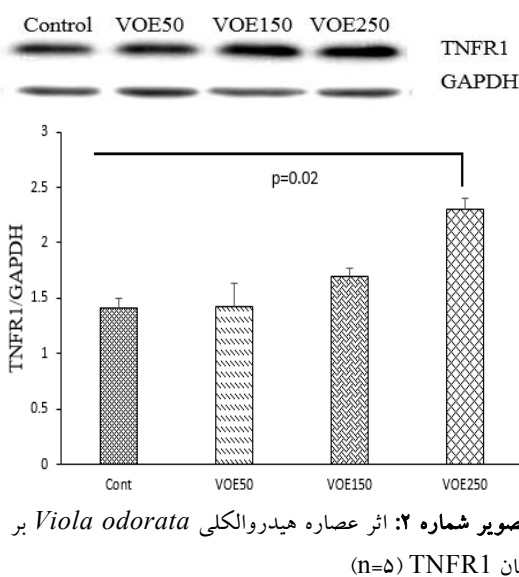
#### گروه‌های آزمایشی

در مطالعه تجربی حاضر، تغییرات حجم تومور با کولیس دیجیتال مورد بررسی قرار گرفت. پس از رسیدن حجم تومورها به  $200 \text{ mm}^3$ ، نمونه‌ها به طور تصادفی به ۵ گروه ۵ تایی تقسیم گردیدند. گروه اول (VOE250) با دریافت دوز  $250 \text{ mg/kg}$ ، گروه دوم (VOE150) با دریافت دوز  $150 \text{ mg/kg}$ ، گروه سوم (VOE50) با دریافت دوز  $50 \text{ mg/kg}$  از عصاره، به مدت سه هفته گاوایش شدند. گروه چهارم (Mel) دوز  $40 \text{ mg/kg}$  از



تصویر شماره ۱: تغییرات حجم تومور ۲۵۰، ۱۵۰، ۵۰، MEL غلظت‌های گوناگون عصاره (۵۰، ۱۵۰ و ۲۵۰ mg/kg) و گروه کنترل را نشان می‌دهد (n=۵). در غلظت ۴۰ mg/kg افزایش معناداری را نشان می‌دهد (P<۰/۰۲).

اثر عصاره هیدرولالکلی *Viola odorata* بر بیان TNFR1 تکنیک وسترن بلازینگ نشان داد که بیان TNFR1 در گروه VOE250 در مقایسه با گروه کنترل، افزایش معناداری را نشان می‌دهد (P<۰/۰۲). این در حالی است که تفاوت بین بیان TNFR1 در گروه‌های VOE50 و VOE150 با گروه کنترل قابل توجه نبود (تصویر شماره ۲).



تصویر شماره ۲: اثر عصاره هیدرولالکلی *Viola odorata* بر بیان TNFR1 (n=۵) (تصویر شماره ۱).

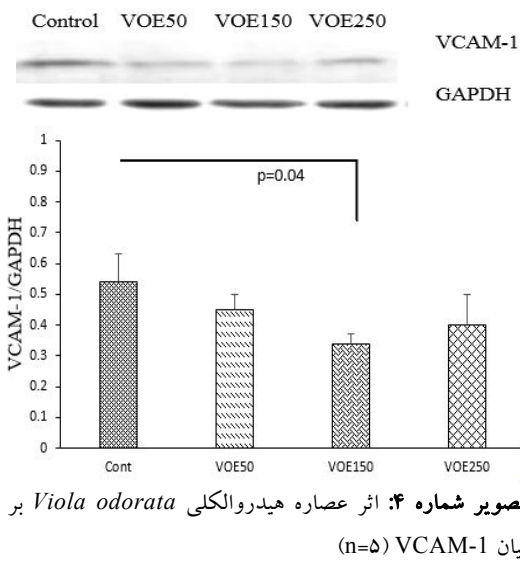
از سانتریفیوژ یخچال دار در دمای ۴ درجه سلسیوس و با سرعت ۱۲۰۰۰ rpm و در مدت ۲۰ دقیقه جدا گردید. بافر نمونه به عصاره‌های سلولی اضافه و به مدت ۵ دقیقه در دمای ۱۰۰ درجه سلسیوس جوشانده شد. نمونه‌های پروتئینی در ژل SDS ۱۰ درصد تفکیک شدند. پس از انتقال پروتئین بر روی کاغذ تکیک شدند. نمونه‌های با آنتی‌بادی‌های اولیه NF-kB، PVDF، نمونه‌هایی با آنتی‌بادی‌های اولیه Santa cruz VCAM-1 و TNFR1 (شرکت Santa cruz آمریکا) با غلظت ۱ به ۵۰۰ و آنتی‌بادی beta-actin (شرکت Santa cruz) با غلظت ۱ به ۱۰۰۰ به مدت ۱۸ ساعت انکوبه شدند. پس از شست و شو با محلول TBS-T، انکوباسیون نمونه‌ها با آنتی‌بادی ثانویه با غلظت ۱ به ۵۰۰ به مدت ۹۰ دقیقه صورت گرفت. حضور پروتئین‌ها در کاغذهای PVDF استفاده از کیت ECL و بر روی فیلم‌های عکاسی آشکارسازی شد.

### آنالیز آماری

تمام داده‌ها به صورت Mean±S.D ارائه و براساس روش آماری one-way ANOVA و به کمک نرم‌افزار SPSS 16 آنالیز شدند. آن‌ها در تمام موارد معنادار گزارش شدند. P<۰/۰۵

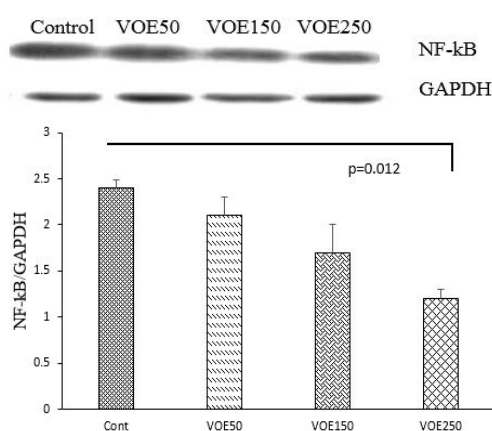
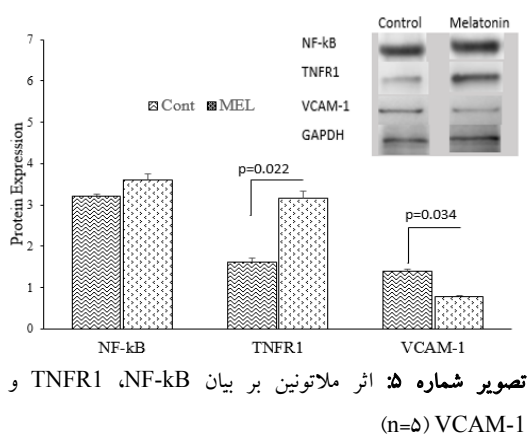
### یافته‌ها

تغییرات حجم و درصد مهار رشد تومور بررسی حجم تومورها در روز ییستودوم نشان داد که اندازه تومور در گروه‌های تیمارشده با عصاره، کوچک‌تر از گروه کنترل است. ملاتونین و عصاره *Viola odorata* توسعه تومور را به طور معناداری مهار نمودند. تفاوت معناداری بین گروه‌های VOE50 و VOE150 با گروه کنترل مشاهده نشد (P>۰/۰۵). (تصویر شماره ۱).



تصویر شماره ۴: اثر عصاره هیدروالکلی *Viola odorata* بر بیان VCAM-1 (n=5) بیان

اثر ملاتونین بر بیان پروتئین‌های TNFR1، NF-κB و VCAM-1 مقایسه داده‌های حاصل از تکنیک وسترن بلاستینگ نشان می‌دهد که اثر دوز ۴۰ mg/kg ملاتونین بر بیان پروتئین NF-κB در بافت‌های توموری 4T1 تفاوت قابل توجهی با گروه کنترل ندارد (P>0.05). این در حالی است که اثر ملاتونین بر بیان فاکتورهای ۱ و VCAM-۱ در مقایسه با گروه کنترل، معنادار بود. دوز ۴۰ mg/kg ملاتونین توانست موجب کاهش معناداری در بیان ۱ VCAM در مقایسه با گروه کنترل (P=0.034) و همچنین، سبب افزایش معنادار بیان پروتئین TNFR1 در مقایسه با گروه کنترل شد (تصویر شماره ۵).



تصویر شماره ۳: اثر عصاره هیدروالکلی *Viola odorata* بر بیان NF-κB (n=5)

اثر عصاره هیدروالکلی *Viola odorata* بر بیان NF-κB در بافت‌های توموری سرطان سینه در مدل‌های 4T1، نشان می‌دهد که تیمار با دوز ۲۵۰ mg/kg از عصاره هیدروالکلی *Viola odorata* توانسته به طور قابل توجهی موجب کاهش بیان این پروتئین در مقایسه با گروه کنترل شود (P=0.012). این در حالی است که بیان NF-κB در گروه‌های تیمارشده با دوزهای ۵۰ mg/kg و ۱۵۰ mg/kg از عصاره هیدروالکلی *Viola odorata*، تفاوت معناداری را با گروه کنترل نشان نمی‌دهند (P>0.05) (تصویر شماره ۳).

اثر عصاره هیدروالکلی *Viola odorata* بر بیان VCAM-1 در بافت‌های توموری سرطان سینه در مدل‌های 4T1، نشان می‌دهد که تیمار با دوز ۱۵۰ mg/kg از عصاره هیدروالکلی *Viola odorata* توانسته به طور قابل توجهی موجب کاهش بیان VCAM-1 در مقایسه با گروه کنترل شود (P=0.04). این در حالی است که کاهش بیان ۱ VCAM در گروه‌های تیمارشده با دوزهای ۵۰ mg/kg و ۲۵۰ mg/kg از عصاره هیدروالکلی *Viola odorata*، تفاوت معناداری را با گروه کنترل نشان نمی‌دهند (P>0.05) (تصویر شماره ۴).

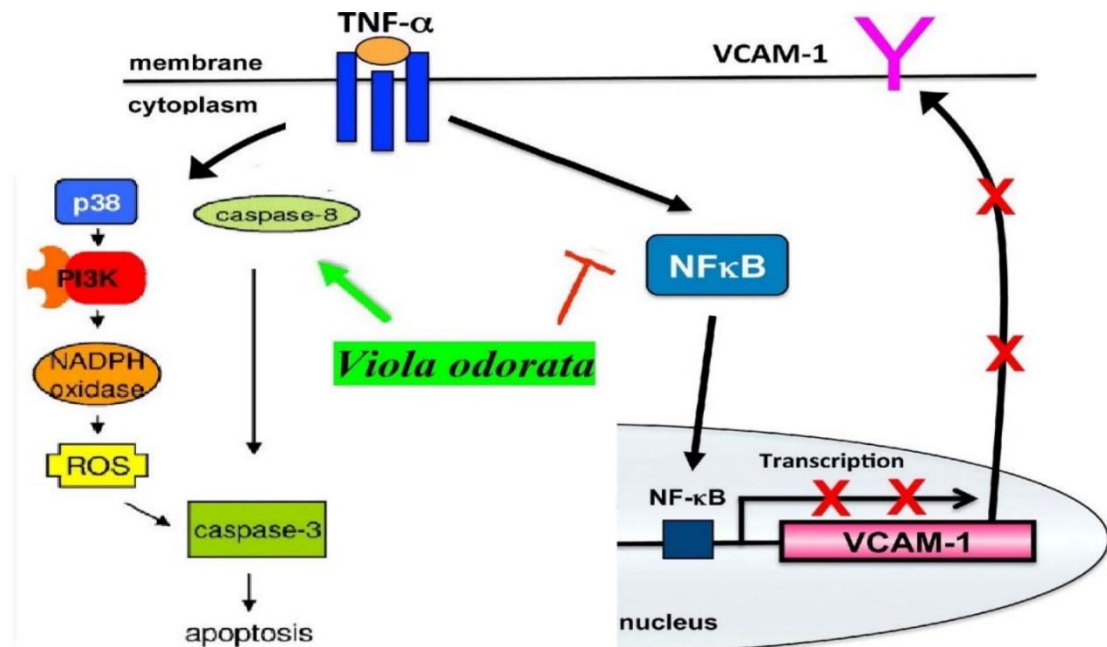
## بحث

(Cellular Inhibitor of Apoptosis Protein 1) موجب فعال شدن NF- $\kappa$ B و افزایش بقای سلولی می شود. در کمپلکس II پس از فعال شدن گیرنده TNFR1 به وسیله (Fas-Associated Protein with Death Domain) FADD و Caspase های ۸ و ۱۰، مسیر آپوپتوز فعال می شود (۲۳). یک مسیر دیگر پیشنهاد می کند که TNFR1 به وسیله فاکتور P38 و به دنبال فعال کردن مسیر سیگنالینگ PIK3 و در نهایت از طریق ROS نیز می تواند با فعال کردن ۳ Caspase، مسیر آپوپتوز را فعال کند. از طرف دیگر، NF- $\kappa$ B نیز با فعال کردن و تنظیم بیان فاکتورهای ضد آپوپتوزی (Bcl-2) و XIAP مهار کننده های آپوپتوز مانند c-IAP1 و (X-Linked Inhibitor of Apoptosis Protein) نقشی کلیدی را در مسیر آپوپتوز بازی می کند (تصویر شماره ۶) (۲۴، ۲۵).

ملاتونین با افزایش بیان گیرنده مرگ و تنظیم کاهشی پروتئین های گوناگون در سلول های MCF-7، VCAM-1 نیز با اتصال مرگ سلولی را تحрیک می کند. به گیرنده های سطح سلول های سرطانی و فعال کردن مسیرهای سیگنالینگ داخل سلولی مانند PIK3، موجب القای بقا و چرخه سلولی می شود (۱۸). افرون بر این، بیان افزایشی VCAM-1 و MMP9 در (Monocyte Chemoattractant Protein-1) MCP-1 بیماران سرطان سینه و حیوانات بدون غده پینه آل، یکی از نشانه های بارز این بیماری ها می باشد. به خوبی مشخص شده است که افزایش بیان VCAM-1 می تواند عاملی برای افزایش متاستاز در بیماران سرطانی باشد. می توان نتیجه گرفت که احتمالاً تأثیرات مفید VOE و ملاتونین به واسطه افزایش TNFR1 و فعال کردن کمپلکس II، کاهش NF- $\kappa$ B و VCAM-1 بوده است که محرك هایی برای افزایش آپوپتوز و کاهش متاستاز

امروزه گیاهان دارویی به منظور پیدا کردن ماده مؤثری برای درمان سرطان، یک منبع ارزشمند به شمار می آیند. مطالعات زیادی در محیط کشت و در مدل های حیوانی، نشان داده است که گیاهان دارویی می توانند تأثیرات ضد توموری خود را به وسیله گوناگونی اعمال کنند. کمک به ترمیم DNA، افزایش ایمنی بدن و افزایش فعالیت آنزیم های آنتی اکسیدان، از جمله این فعالیت ها می باشد (۲۰). هدف از تحقیق حاضر، بررسی خاصیت ضد توموری عصاره هیدرولکلی گیاه Viola odorata و ملاتونین و همچنین اثر آن ها بر بیان پروتئین های TNFR1، NF- $\kappa$ B و VCAM-1 بود.

علاوه بر کاهش بیان NF- $\kappa$ B و VCAM-1، افزایش TNFR1 شد. این در حالی است که ملاتونین با کاهش TNFR1 و افزایش VCAM-1 اثری بر بیان NF- $\kappa$ B نداشت. مطالعات گذشته نشان داده است که تکثیر سلولی در سلول های رده T47D سرطان سینه و در سرطان های القا شده توسط مواد شیمیابی، TNF و به واسطه مسیر سیگنالینگ PI3-K/Akt توسط MAPK p42/p44 و فعال کردن JNK تحریک می شود (۲۱). Garoma و همکاران نشان دادند که تیمار با داروهای ضد استروژن و متوقف کننده گیرنده TNFR1، می تواند بقای سلولی را در سلول های MCF-7 سرطان سینه افزایش دهد (۲۲). تأثیرات سلولی خود را به وسیله بره مکنیش با دو مسیر سیگنالینگ داخل سلولی (کمپلکس I و II) اعمال می کند که در نهایت، عاملی برای راه اندازی آپوپتوز یا حفظ بقای سلول می باشد (۲۳). کمپلکس I با فعال کردن TRADD، (Necrosis Factor Receptor 1)، (TNFR1- Associated Death Domain Protein) TRAF2، (Receptor-Interacting Protein 1) RIP c-IAP1، (TNF Receptor-Associated Factor 2)

تصویر شماره ۶: اثر احتمالی *Viola odorata* بر مسیر سیگنالینگ TNFR1

داده است که فراکسیون اتیل استاتی یک گونه از گل بنفسه (*V. tricolor*) با اثر سایتوکسیک، از تکثیر سلول‌های سرطانی جلوگیری می‌کند. از طرف دیگر، این فراکسیون اتیل استاتی می‌تواند موجب کاهش قطر رگ‌ها در غشاء کوریوآلانتوئیس (Chorioallantois) تخم لقاح یافته شود؛ در حالی که بر تعداد عروق تأثیری نداشته است (۲۸). مطالعه سمرقندی و همکاران نیز نشان داده است که عصاره گونه‌ای از گل بنفسه (*V. tricolor*)، می‌تواند نسبت Bax/Bcl-2 را در سلول‌های سرطانی Neuro2a افزایش دهد؛ همچنین، از رگ‌زایی در غشاء کارديوآلانتوئیس جنين جوجه *Viola odorata* کند (۲۹). احتمالاً عصاره *Viola odorata* به‌واسطه ترکیبات اصلی خود مانند: سیکلوتاییدها، فلاونوئیدها و شاید ملاتونین با تأثیر بر آپوپتوز در سلول‌های سرطانی از افزایش حجم تومور جلوگیری می‌کند. فلاونوئیدها می‌توانند پروتئین‌های اصلی در مسیر رشد سلولی، آپوپتوز و آنزیوژن از جمله: MMP، Bax، P53، HIF-alpha، VEGF و Bcl-2 را تحت تأثیر

در مدل‌های 4T1 بوده‌اند. بررسی تغییرات حجم و وزن تومورهای 4T1 در موش‌های BALB/c نشان داد که درصد تغییرات حجم تومور در گروه VOE250 (دوز ۲۵۰ mg/ml) به‌طور معناداری کمتر از گروه کنترل است؛ درحالی که گروه‌های VOE150 و VOE50 تفاوتی را با گروه کنترل نشان ندادند. تزریق درون صفاقی ملاتونین نیز از افزایش حجم تومور جلوگیری کرد و درصد تغییرات حجم تومور در این گروه با گروه کنترل، معنادار بود. مهار رشد تومور با VOE250 که با کاهش در تکثیر سلولی و حجم تومور نیز تأیید شده، می‌تواند به‌دلیل مهار مسیرهای بقای سلولی در رده 4T1 باشد. به‌خوبی مشخص شده است که مهار آنزیوژن و تقسیم سلولی می‌تواند موجب تقلیل رشد تومور و بقای سلول‌های سرطانی شود (۲۶). از طرفی، افزایش نسبت Bax/Bcl-2 موجب تنظیم افزایشی Caspase 3 و آزادشدن سیتوکروم C از میتوکندری می‌شود و درنهایت، آپوپتوز سلولی را القا می‌کند (۲۷). نتایج تحقیقات گذشته نشان

رگ‌زایی) می‌شود؛ در حالی که آنتی‌اکسیدان‌های شیمیایی، فعالیت میتوژنیک Ras را مهار می‌کنند؛ بنابراین، ROS‌ها می‌توانند به کمک HIF- $\alpha$  تولید فاکتورهای محرك رگ‌زایی را در سلول‌های توموری افزایش دهند (۳۳). افزون بر این، تزریق H2O2 یا داروهای ایجاد کننده استرس اکسیداتیو (Doxorubicin) به سلول‌های سالم موش‌ها، رگ‌زایی را در محیط *in vivo* تحریک می‌کند (۳۴). با توجه به مطالب اشاره شده، می‌توان یک نتیجه احتمالی گرفت که قدرت مهاری VOF به واسطه فعالیت آنتی‌اکسیدانی، خود برای مهار فاکتورهایی همچون Ras و HIF-alpha می‌تواند در مهار رگ‌زایی و کنترل رشد تومور نقش داشته باشد؛ هرچند بررسی صحت این احتمال نیاز به بررسی‌های بیشتری دارد.

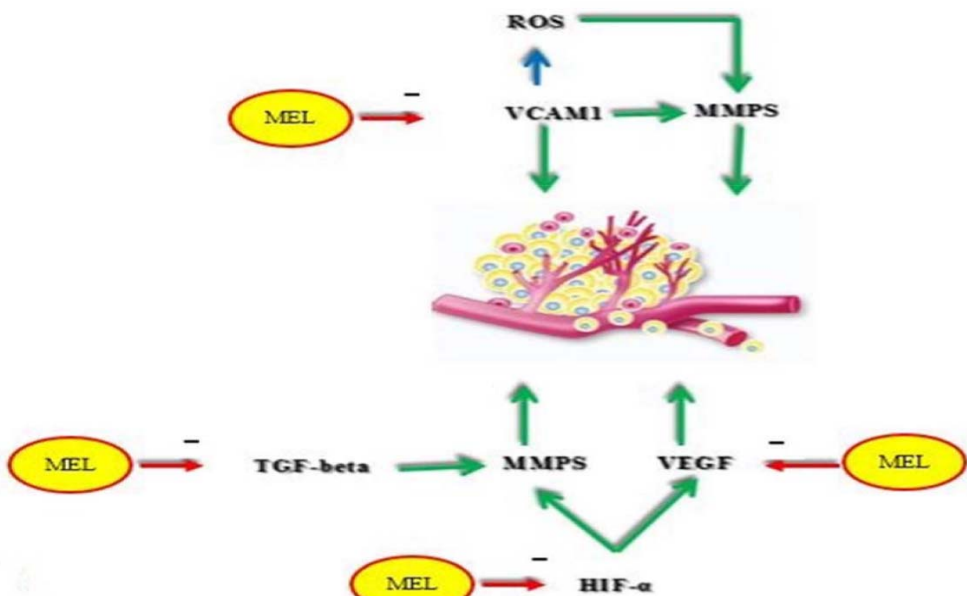
مطالعات قبلی نیز نشان داده است که ملاتونین در مدل‌های زنوگرافت سرطان سینه، می‌تواند تکثیر سلولی رده‌های MCF-7، MDA-MB-431 و همچنین، اندازه تومور را کاهش دهد. افزون بر سرطان سینه، ملاتونین می‌تواند حجم تومور را در سرطان معده کاهش دهد می‌تواند در *vitro* موجب (۱ nM) در شرایط *in vitro* افزایش بیان پروتئین p53 و p21 می‌شود و به دنبال آن، سطح رشد سلول‌های MCF-7 را کاهش می‌دهد. احتمالاً ملاتونین با ارتباط با مجموعه‌ای از گیرنده‌های هسته‌ای مانند RZR/ROR، موجب القای بیان p53 می‌شود. ملاتونین به همراه رتینوئیک اسید تمام ترانس، موجب تنظیم کاهشی بیان-2 Bcl-2 و تنظیم افزایشی بیان TGF $\beta$ 1 و Bax می‌شود (۳۶). با توجه به مطالعات صورت گرفته، احتمال داده می‌شود که ملاتونین با کاهش تمایز سلولی، نگه‌داشتن سلول‌ها در فاز G<sub>0</sub>/G<sub>1</sub> چرخه سلولی، افزایش طول چرخه سلولی، تنظیم افزایشی P53 و P21، کاهش حالت تهاجم سلول‌های سرطانی، افزایش gap junction E-cadherin،

قرار داده و رشد تومور را کاهش دهند (۱۴). پروتئین P53 یکی از فاکتورهای مهم در مرگ برنامه‌ریزی شده سلول است. تنظیم افزایشی Bax و انتقال آن از سیتوپلاسم به میتوکندری موجب فعال شدن P53 می‌شود (۳۰). مطالعات گذشته نشان داده است که بیان  $\alpha$  HIF در مسیر تبدیل شدن بافت طبیعی پستان به کارسینومای پستانی، به تدریج افزایش می‌یابد. بیان  $\alpha$  HIF با افزایش تکثیر سلول‌های پستان و بیان گیرنده‌های استروژن و VEGF مرتبط است (۳۱). VEGF محرکی قوی در رگ‌زایی است و توسعه عواملی که این مسیر را هدف قرار می‌دهند، موجب اعتبار اصول درمانی ضد رگ‌زایی برای درمان سرطان شده‌اند. گیرنده (KDR/FLK1) VEGFR2، نقش اصلی را در پاسخ‌دهی به هورمون VEGF دارد و به صورت مستقیم رگ‌زایی را در تومور کنترل می‌کند؛ به طوری که سیستم VEGF/VEGFR2 به عنوان یک سیستم اتوکرینی - پاراکرینی در تکثیر و حفظ سلول‌های سرطانی نقش دارند. افزون بر این، سیگنالینگ VEGFR2 در نفوذپذیری عروق، تکثیر، بقا و مهاجرت سلول‌های اندوتیالی نقش ایفا می‌کند (۳۲). همه این مسیرها می‌توانند جایگاهی برای اثرگذاری ترکیبات اصلی عصاره هیدروالکلی *V. odorata* و یا فیتوملاتونین باشند که تأیید آن نیازمند تحقیق و بررسی بیشتری است. تومورهای جامد با ایجاد یک پاسخ رگ‌زایی در عروق اصلی میزان، موجب تشکیل یک شبکه عروقی جدید به منظور تأمین مواد غذایی و اکسیژن مورد نیاز می‌شوند. این پاسخ رگ‌زایی، دلیل اصلی برای رشد تومور و گسترش متاستاز در بدن است. تعدادی از فاکتورهای استرس‌زای سلولی مانند: هیپوکسی، محدودیت غذایی و ROS محرک‌های مهم رگ‌زایی هستند. بیان افزایشی پروتئین Ras به وسیله  $\alpha$  HIF- $\alpha$  موجب تغییر افزایشی A VEGF (محرك اصلی

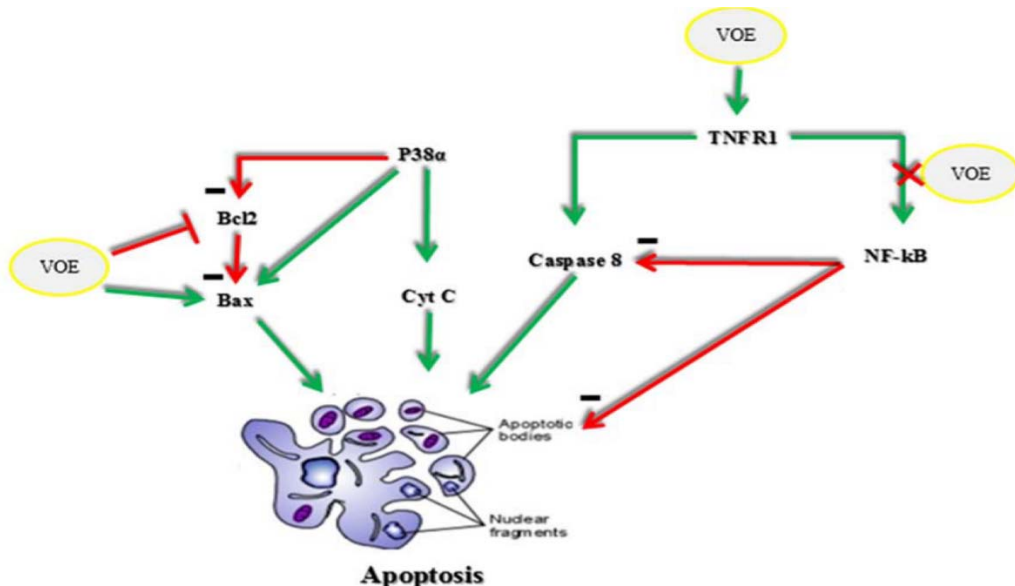
(Human Pancreatic Carcinoma Cells: PANC-1) آدنوکارسینومای آلوئولی (A549) Human Alveolar Adenocarcinoma Cells (Adenocarcinoma Cells) توسط ملاتونین کاهش پیدا می‌کند (۳۸، ۱۹). هیپوکسی (HIF-alpha) در تومور نیز، با افزایش بیان VEGFR2، مسیرهای سیگنالینگ بقا و رگزایی را فعال می‌کند. در شرایط *in vitro*, ملاتونین با مهار بیان HIF-alpha از آنزیوژن توموری در رده‌های سلولی سرطان‌های پروستات و کولون جلوگیری می‌کند (۳۹). این در حالی است نشان داده شده، دوز ۴۰ mg/kg ملاتونین در مدل‌های زنوگرافت سرطان سینه، با وجود کاهش VEGF نتوانسته تغییر معناداری در بیان HIF-alpha ایجاد کند (۱۹)؛ بنابراین، می‌توان پیشنهاد کرد که ملاتونین به‌واسطه کاهش فاکتورهای اصلی در مسیر رگزایی مانند VEGF و درنهایت آنزیوژن، رشد تومورهای 4T1 را کاهش داده است (تصویر شماره ۷).

به‌طور خلاصه، احتمالاً VOE با مهار فعالیت NF-kB، اثر مهاری آن را بر روی Caspase8 و درنهایت، آپوپتوز خنثی کرده و از طرف مقابل، با

اتصال‌های بین‌سلولی و درنهایت، کاهش تکثیر سلولی، از رشد تومورهای 4T1 جلوگیری می‌نماید (۳۷). مشخص شده است که گیرنده MT1 ملاتونین با مهار آنزیم آدنیل سیکلاز و بدنبال آن کاهش تولید cAMP، فعالیت پروتئین کینازهای گوناگونی مانند PKC، MAPK، PKA و بیان ژن‌های مختلف که در تکثیر سلولی، آنزیوژن، تمایز سلولی و متاستاز نقش دارند، کنترل می‌کند (۱۹). برخی از محققان نشان داده‌اند که غلظت‌های فارماکولوژیک ملاتونین ممکن است به صورت مستقیم یا غیرمستقیم، رگزایی را با کاهش تکثیر سلول‌های اندوتیالی و فعال کردن فاکتورهای ضد رگزایی در تومورها مهار کند. تیمار مدل‌های زنوگرافت سرطان سینه ER- (MDA-MB-231) با ملاتونین نشان داده که ملاتونین می‌تواند در این مدل‌های حیوانی، آنزیوژن را با کاهش بیان VEGFR2 و کاهش تراکم عروقی (Micro-Vessel Density: MVD) مهار کند (۱۹). مطالعات قبلی نیز توضیح می‌دهند که تولید VEGF در سرطان‌های کبد انسانی



تصویر شماره ۷: اثر احتمالی ملاتونین (MEL) بر آنزیوژن



تصویر شماره ۸: مکانیسم احتمالی گل بنفسه (VOE) بر آپوپتوز

ضد رگ‌زایی نتایج مشبّتی به دنبال داشته است؛ اما هنوز میزان بقا به صورت طولانی‌مدت را تضمین نمی‌کنند. به روشنی مشخص شده است که استفاده از درمان‌های ترکیبی، می‌تواند میزان بقا را به اندازه قابل توجهی افزایش دهد؛ به عنوان مثال، استفاده از مکمل‌های گیاهی می‌تواند یک روش کمکی در کنار درمان‌های دارویی، موجب افزایش تأثیرات مثبت درمانی این داروها شود. عصاره هیدروالکلی گل بنفسه موجب کاهش تکثیر سلولی در مدل‌های 4T1 سرطان سینه شد؛ شاید استفاده از دوزهای بالاتری از عصاره، بتواند تأثیرات مثبت‌تری را نشان دهد.

### سپاسگزاری

این مقاله بخشی از رساله دکترای فیزیولوژی جانوری مصوب دانشگاه شهید بهشتی تهران می‌باشد که در قالب طرح تحقیقاتی و با حمایت مرکز تحقیقات سرطان دانشگاه علوم پزشکی شهید بهشتی تهران انجام شد.

افزایش بیان TNFR1 و به‌واسطه Caspase8 میزان آپوپتوز را افزایش داده است. همچنین، VOE احتمالاً با افزایش نسبت Bax/Bcl-2 مسیر میتوکندریابی آپوپتوز را فعال کرده است (تصویر شماره ۸).

تکثیر سلولی و آنزیوژن، بخش‌های مهمی از فرآیندهای دخیل در بقا و رشد تومورها هستند. رشد عروق جدید برای افزایش تکثیر سلولی و متاستاز سلول‌های سرطانی ضروری است. مهار رگ‌زایی و تقسیم سلولی نیز از تاکتیک‌های اصلی در محدود کردن سرطان به‌شمار می‌رودن (۲۶). کشف مهارکننده‌های رگ‌زایی، امید به کاهش مرگ و میر در بیماران سرطانی را افزایش می‌دهد. مهار پروتئازها (مانند مهار MMP)، مهاجرت، تکثیر سلول‌های اندوتیالی، فاکتورهای رگ‌زایی و پروتئین‌های ماتریکس سطح سلولی مانند اینتگرین، مهم‌ترین اهداف بالینی برای مهار آنزیوژن هستند (۴۰). در این مسیرها، استفاده از داروهای

## References

- Wiechmann L, Kuerer HM. The molecular journey from ductal carcinoma in situ to

- invasive breast cancer. *Cancer.* 2008; 112(10): 2130-2142.
2. Urruticoechea A, Alemany R, Balart J, Villanueva A, Vinals F, Capella G. Recent advances in cancer therapy :an overview. *Current pharmaceutical Design.* 2010; 16(1): 3-10.
  3. Pandi-Perumal SR, Srinivasan V, Maestroni G, Cardinali D, Poeggeler B, Hardeland R. Melatonin. *Febs J.* 2006; 273(13): 2813-2838.
  4. Hill SM, Belancio VP, Dauchy RT, Xiang S, Brimer S ,Mao L, et al. Melatonin: an inhibitor of breast cancer. *Endocr Relat Cancer.* 2015; 22(3): R183-R204.
  5. Cos S, González A, Martínez-Campa C, Mediavilla MD, Alonso-González C, Sánchez-Barceló EJ. Estrogen-signaling pathway: a link between breast cancer and melatonin oncostatic actions. *Cancer Detect Prev.* 2006; 30(2): 118-128.
  6. Cos S , Blask DE. Melatonin modulates growth factor activity in MCF-7 human breast cancer cells. *J pineal Res.* 1994; 17(1): 25-32.
  7. Vriend J , Reiter RJ. Breast cancer cells: Modulation by melatonin and the ubiquitin-proteasome system—a review. *Mol Cell Endocrinol.* 2015; 417: 1-9.
  8. Besharati-Seidani A, Jabbari A, Yamini Y, Saharkhiz M. Rapid extraction and analysis of volatile organic compounds of Iranian feverfew (Tanacetum parthenium) using headspace solvent microextraction (HSME), and gas chromatography/mass spectrometry. *Flav Frag J.* 2006; 21(3): 502-509.
  9. Ansari M, Rafiee K, Yasa N, Vardasbi S, Naimi S, Nowrouzi A. Measurement of melatonin in alcoholic and hot water extracts of Tanacetum parthenium, Tripleurospermum disciforme and Viola odorata. *DARU.* 2010; 18(3): 173-178.(persian).
  10. Elhassaneen Y, Sabry S, Musalam T ,El-Eskafy A, El-Fatah AA. Effect of sweet violet (Viola odorata L.) blossoms powder on liver and kidney functions as well as serum lipid peroxidation of rats treated with carbon tetrachloride. *J Am Sci.* 2013; 9(5): 88-95.
  11. Barekat T, Otrosky M, Samsam-Zadeh B, Sadrarhami A, Mokhtari A. A novel approach for breaking seed dormancy and germination in Viola odorata (A medicinal plant). *J Nov Appl Sci.* 2013; 2(10): 513-516.
  12. Saether O, Craik DJ, Campbell ID, Sletten K, Juul J, Norman DG. Elucidation of the primary and three-dimensional structure of the uterotonic polypeptide kalata B1. *Biochemistry.* 1995; 34(13): 4147-4158.
  13. Gerlach SL, Rathinakumar R, Chakravarty G, Göransson U, Wimley WC, Darwin SP, et al. Anticancer and chemosensitizing abilities of cycloviolacin O2 from Viola odorata and psyle cyclotides from Psychotria leptothrys. *Biopolymers.* 2010; 94(5): 617-625.
  14. Batra P , Sharma AK. Anti-cancer potential of flavonoids: recent trends and future perspectives. *3 Biotech.* 2013; 3(6): 439-454.
  15. Stojković D, Glamočlija J, Ćirić A, Šiljegović J, Nikolić M, Soković M. Free radical scavenging activity of Viola odorata water extracts. *Journal of Herbs, Spices & Medicinal Plants.* 2011; 17(3): 285-290.
  16. Alipanah H, Bigdeli MR ,Esmaeili MA, Akbari ME. Effect of Viola odorata Extract on Cell Survival of Triple Negative Breast Cancer MDA-MB-468 Cells. *J Mazandaran Univ Med Sci.* 2016; 25(132): 186-

- 199.(persian).
17. Sprowl JA, Reed K, Armstrong SR, Lanner C, Guo B ,Kalatskaya I, et al. Alterations in tumor necrosis factor signaling pathways are associated with cytotoxicity and resistance to taxanes: a study in isogenic resistant tumor cells. *Breast Cancer Res.* 2012; 14(1): R2
  18. Chen Q , Massagué J. Molecular pathways: VCAM-1 as a potential therapeutic target in metastasis. *Clin Cancer Res.* 2012; 18(20): 5520-5525.
  19. Jardim-Perassi BV, Arbab AS, Ferreira LC, Borin TF, Varma NR, Iskander A, et al . Effect of melatonin on tumor growth and angiogenesis in xenograft model of breast cancer. *PloS one.* 2014; 9(1): e85311.
  20. Sakarkar D, Deshmukh V. Ethnopharmacological review of traditional medicinal plants for anticancer activity .*Int J Pharm Tech Res.* 2011; 3(1): 298-308.
  21. Rivas MA , Carnevale RP, Proietti CJ, Rosemblit C, Beguelin W, Salatino M. TNF $\alpha$  acting on TNFR1 promotes breast cancer growth via p42/P44 MAPK, JNK, Akt and NF- $\kappa$ B-dependent pathways. *Exp Cell Res.* 2008; 314(3): 509-529.
  22. Smolnikar K, Löfek S, Schulz T, Michna H, Diel P. Treatment with the pure antiestrogen faslodex (ICI 182780) induces tumor necrosis factor receptor 1 (TNFR1) expression in MCF-7 breast cancer cells. *Breast Cancer Research Treat.* 2000; 63(3): 249-259.
  23. Micheau O , Tschoop J. Induction of TNF receptor I-mediated apoptosis via two sequential signaling complexes. *Cell.* 2003; 114(2): 181-190.
  24. Salvesen GS , Duckett CS. IAP proteins: blocking the road to death's door. *Nat Rev Mol Cell Biol.* 2002; 3(6): 401-410.
  25. Catz SD, Johnson JL. Transcriptional regulation of bcl-2 by nuclear factor kappa B and its significance in prostate cancer. *Oncogene.* 2001; 20(50): 7342-7351.
  26. Weis SM, Cheresh DA. Tumor angiogenesis: molecular pathways and therapeutic targets. *Nat Med.* 2011; 17(11): 1359-1370.
  27. Czabotar PE, Lessene G, Strasser A, Adams JM. Control of apoptosis by the BCL 2-protein family: implications for physiology and therapy. *Nat Rev Mol Cell Biol.* 2014; 15(1): 49-63.
  28. Sadeghnia HR, Ghorbani Hesari T, Mortazavian SM, Mousavi SH, Tayarani-Najaran Z, Ghorbani A. Viola tricolor induces apoptosis in cancer cells and exhibits antiangiogenic activity on chicken chorioallantoic membrane. *Biomed Res Int.* 2014; 2014: 8.
  29. Sadeghnia HR, Ghorbani Hesari T, Mortazavian SM, Mousavi SH, Tayarani-Najaran Z, Ghorbani A. Viola tricolor induces apoptosis in cancer cells and exhibits antiangiogenic activity on chicken chorioallantoic membrane. *BioMed Res Int.* 2014; 2014 :8.
  30. Li P, Nijhawan D, Budihardjo I, Srinivasula SM, Ahmad M, Alnemri ES, et al. Cytochrome c and dATP-dependent formation of Apaf-1/caspase-9 complex initiates an apoptotic protease cascade. *Cell.* 1997; 91(4): 479-489.
  31. Bos R, Zhong H, Hanrahan CF, Mommers EC, Semenza GL, Pinedo HM , et al. Levels of hypoxia-inducible factor-1 $\alpha$  during breast carcinogenesis. *J Nati Cancer Inst.* 2001;

- 93(4): 309-314.
32. Guo S, Colbert LS, Fuller M, Zhang Y, Gonzalez-Perez RR. Vascular endothelial growth factor receptor-2 in breast cancer. *Biochim Biophys Acta (BBA)*. 2010; 1806(1): 108-121.
33. Chandel N, Maltepe E, Goldwasser E, Mathieu C, Simon M, Schumacker P. Mitochondrial reactive oxygen species trigger hypoxia-induced transcription. *Proc Natl Acad Sci USA*. 1998; 95(20): 11715-11720.
34. Reuter S, Gupta SC, Chaturvedi MM, Aggarwal BB. Oxidative stress, inflammation, and cancer: how are they linked? *Free Radic Biol Med*. 2010; 49(11): 1603-1616.
35. Liu H, Xu L, Wei JE, Xie MR, Wang SE, Zhou RX .Role of CD4+ CD25+ Regulatory T Cells in Melatonin-Mediated Inhibition of Murine Gastric Cancer Cell Growth In Vivo and In Vitro. *Anat Rec*. 2011; 294(5): 781-788.
36. Mediavilla M, Cos S, Sanchez-Barcelo E. Melatonin increases p53 and p21WAF1 expression in MCF-7 human breast cancer cells in vitro. *Life Sci*. 1999; 65(4): 415-420.
37. Cos S, González A, Martínez-Campa C, Mediavilla MD, Alonso-González C, Sánchez-Barceló EJ. Estrogen-signaling pathway: a link between breast cancer and melatonin oncostatic actions. *Cancer Detect prev*. 2006; 30(2): 118-128.
38. Dai M, Cui P, Yu M, Han J, Li H, Xiu R. Melatonin modulates the expression of VEGF and HIF-1 $\alpha$  induced by CoCl2 in cultured cancer cells. *J Pineal Res*. 2008; 44(2): 121-126.
39. Park JW, Hwang MS, Suh SI, Baek WK. Melatonin down-regulates HIF-1 $\alpha$  expression through inhibition of protein translation in prostate cancer cells. *J Pineal Res*. 2009; 46(4): 415-421.
40. Nishida N, Yano H, Nishida T ,Kamura T, Kojiro M. Angiogenesis in cancer. *Vasc Health Risk Manage*. 2006; 2(3): 213-219.